

بررسی مشخصه‌های دوام و مقاومت روسازی بتن غلتکی

سید حسام مدñی* (استادیار)

دانشکدهی عمارت، دانشگاه تحصیلات تکمیلی صنعتی و فناوری پیشرفته، کرمان

علیرضا پورخورشیدی (استادیار)

طیبه پرهیزکار (استادیار)

جعفر سبحانی (استادیار)

پژوهشگاه ساختمان مرکز تحقیقات راه، مسکن و شهرسازی

مهمنگی عمده، شرف، (پیز ۹۶۰۱) دری ۳ - ۳، شماره ۱ / ۳، ص. ۳۹ - ۵۲

پژوهش حاضر با هدف بررسی مشخصات دوام و مکانیکی روسازی‌های بتن غلتکی شامل مقاومت فشاری، مدول گسیختگی، سایش، پوسته‌شدگی سطحی در اثر نمک‌های بیخ زدا و نفوذ تحت فشار آب در بخش تکنولوژی بتن مرکز تحقیقات راه، مسکن و شهرسازی انجام شده است. نتایج مقاومت فشاری در سنین ۷ و ۸ روز نشانگر آن هستند که در ۲۸ روز تمام مخلوط‌های مورد بررسی، مقاومت فشاری بالاتر از ۳۵ مگاپاسکال داشته‌اند. نسبت بین مدول گسیختگی و مجدور مقاومت فشاری برابر ۷٪ به دست آمده است. نتایج نفوذپذیری تحت فشار آب بیانگر آن است که با کاهش نسبت آب به سیمان از ۳۸٪ به ۳٪ در زمان ویبی برابر، مقدار نفوذ آب از ۱۴ میلی‌متر کاهش یافته و مقدار نفوذ بسیار کم ۵ میلی‌متری مخلوط‌های حاوی دوده‌ی سیلیسی و سیمان پوزلاتی مؤید ریزاساختار مترآکم‌تر مخلوط‌های مذکور است. از نظر پوسته‌شدگی در سیکل‌های یخبندان و مجاورت نمک‌های بیخ زدا، بیشتر مخلوط‌ها تورق بسیار شدید داشته‌اند. فقط مخلوط حاوی دوده‌ی سیلیسی با ۶۰ گرم بر مترمربع پوسته‌شدگی در رده‌ی بتن‌های با پوسته‌شدگی متوسط قرار گرفته است.

h.madani@kgut.ac.ir
pourkhoshidi@bhrc.ac.ir
parhizkar@bhrc.ac.ir
sobhani@bhrc.ac.ir

وازگان کلیدی: روسازی بتن غلتکی، خواص مکانیکی، مشخصات دوام، پوسته‌شدگی سطحی، زمان ویبی.

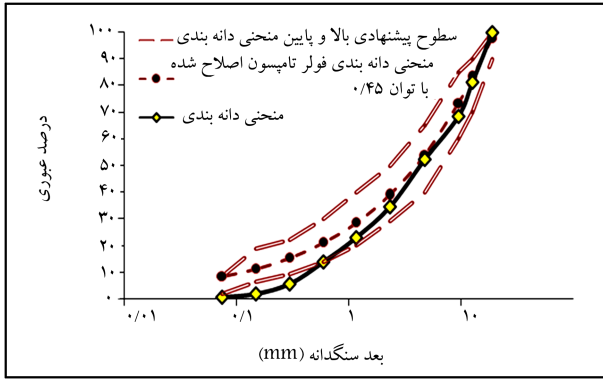
۱. مقدمه

نمک‌های بیخ زداست که در آن به دلیل بیخ زدن آب حاوی نمک به تدریج سطح بتن به صورت پوسته‌هایی جدا از چار زوال سطحی می‌شود.^[۱-۲] بتن غلتکی با پدیده‌ی یخبندان، توصیه‌های متعددی ارائه شده است. اشباع بودن بتن در پدیده‌ی یخبندان، آب کافی برای آسیب بتن در پدیده‌ی یخبندان را فراهم خواهد ساخت. به این دلیل در برخی مطالعات توصیه شده است که برای مقابله با اثر یخبندان روسازی‌های بتن غلتکی در بیخ زدگی و پوسته‌شدگی سطحی، بتن از حالت اشباع خارج شود. بر این اساس به نظر می‌رسد کاهش نفوذپذیری بتن و حجم منافذ قبل نفوذ به کاهش سرعت اشباعیت آن در شرایط مرتبط کم کنند.^[۳-۴] از سوی دیگر، یکی از مهم‌ترین عوامل آسیب بتن در شرایط بیخ‌بندان، پدیده‌ی پوسته‌شدگی سطحی در مجاورت نمک‌های بیخ زداست.^[۵] لیکن برخی مراجع به این نکته تأکید دارند که آزمایش‌های استانداردی همچون ASTM C672^[۶] و ASTM C666^[۷]، ضوابط سخت‌گیرانه دارند. مثلاً در پژوهشی فقط ۸ مورد از ۳۳ مورد بررسی شده در مونتاژ تورق کمتر از ۱ کیلوگرم بر مترمکعب داشته‌اند.^[۸] لیکن در عمل روسازی‌ها پس از ۴ سال، هیچ اثری از ضعف بتن در بیخ‌بندان مشاهده

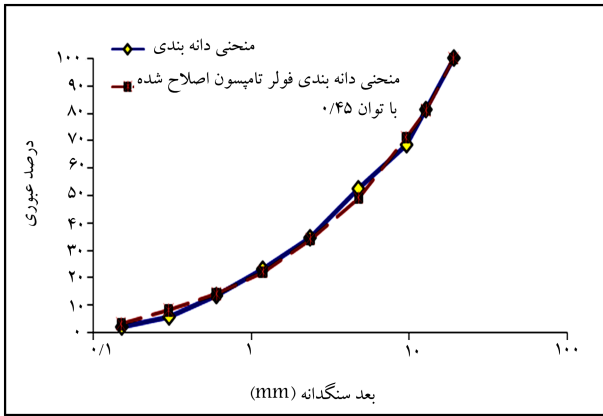
بتن غلتکی یکی از انواع بتن‌های بدون اسلامپ است که برای تراکم نیاز به اعمال نیروی خارجی دارد.^[۹] علت عدم روانی بتن غلتکی نسبت به بتن معمولی مقنن خمیر کمتر و حجم سنگ‌دانه‌ی بیشتر آن است. اخیراً در کشور ما به طراحی و اجرای روسازی‌های بتن غلتکی توجه جدی شده است. پژوهش حاضر براساس مطالعات انجام شده در بخش تکنولوژی بتن مرکز تحقیقات راه، مسکن و شهرسازی به بررسی مشخصات عملکردی و دوام روسازی‌های بتن غلتکی پرداخته است. با توجه به آنکه رویه‌های بتن غلتکی در معرض شرایط آسیب‌رسان محیطی قرار دارند، لذا لازم است مشخصات مکانیکی و دوام مطلوبی داشته باشند.

از نظر مشخصه‌های دوام، رویه‌های بتن غلتکی باید بسته به شرایط محیطی، باید عملکردی مناسب در برابر یخبندان، سایش و جمع‌شدگی داشته باشند. یکی از پدیده‌هایی که در یخبندان اتفاق می‌افتد، پوسته‌شدگی سطحی بتن در اثر پاشش

* نویسنده مسئول
تاریخ: دریافت ۱۵/۲/۱۳۹۴، اصلاحیه ۱۹/۱۰/۱۳۹۴، پذیرش ۲۶/۱۰/۱۳۹۴.



شکل ۱. دانه بندی استفاده شده در مقایسه با محدوده های دانه بندی پیشنهادی ACI ۳۲۵-۱۰ R.



شکل ۲. دانه بندی استفاده شده در مقایسه با دانه بندی اصلاح شده فولر تامپسون توان ۰/۴۵.

شده است (شکل ۲). رابطه ۱، حالت اصلاح شده منحنی فولر تامپسون را نشان می دهد. در صورتی که d در رابطه مذکور برابر 75 mm قرار داده شود، مقدار درصد عبوری برابر صفر به دست خواهد آمد. این بدان معنا نیست که درصد عبوری از الک 200 صفر است، بلکه تلاشی برای حذف زیر الک 200 و اصلاح منحنی دانه بندی به این طریق است. به این ترتیب دانه بندی از الک 100 به بعد انجام و در آن نسبت حجمی ماسه، شن خودی و شن بادامی برابر با $0/57$ ، $0/215$ و $0/215$ برای ساخت مخلوط های بتن استفاده شده است. دانه بندی فولر تامپسون با حذف ریزدانه زیر الک 200 به صورت رابطه ۱ است:

$$P = \frac{\%_{100}}{1 - (\frac{D}{D_{max}})^{0.75}} \times \left[\left(\frac{d}{D} \right)^n - \left(\frac{0.75}{D} \right)^n \right] \quad (1)$$

در مطالعه حاضر نوع سیمان شامل: سیمان تیپ II و سیمان پوزولانی تولید کارخانه ای سیمان تهران استفاده شده است. در جدول ۱، ترکیب شیمیایی سیمان ها ارائه شده است. یک محصول دوده سیلیسی با سطح ویژه 21 مترمربع برگرم تولید شرکت ازنا تهیه شده است که عمدتاً ذرات بزرگ تر از 100 نانومتر و به طور متوسط $200-150$ نانومتر دارد. در طرح ساخته شده با دوده سیلیسی، ماده ای ذکرشده قبل از اختلاط با سایر مصالح، ابتدا در غلاظت 30% با آب توسط میکسر دور بالا به مدت 4 دقیقه مخلوط شده است. فوق روان ساز استفاده شده، از نوع پلی کربکسیلانی و تولید شرکت BASF بوده و آب موجود در آن در مقدار آب اختلاط لحاظ شده است.

نشده است.^[۱] در پژوهش دیگری استفاده از ASTM C1262 (استاندارد پیشنهاد بلوک های بتونی) به جای روش ASTM C672 می پیشنهاد شده است. اخیراً روشی جایگزین ارائه شده است که ضعف های کمتری نسبت به روش متداول ASTM C672 دارد.^[۱۰] مثلاً برخلاف روش ASTM C672، نفوذ سرما فقط از یک بعد صورت می گیرد، نمونه های بتونی شرایط پیش اشباعی را قبل از قرار گیری در شرایط پیشنهاد طی می کنند و به صورت کمی میزان مقاومت در برابر پوسته شدنگی گزارش می شود.

از دیگر مشخصه های عملکردی روسازی بتن غلتکی، مقاومت در برابر سایش است. با توجه به آنکه مقاومت سایشی متناسب با مقاومت فشاری است، آین نامه^[۱۱] یک مقاومت فشاری کمینه 40 مگاپاسکال را برای کسب دوام مناسب در برابر سایش توصیه کرده است. همچنین در بررسی به عمل آمده در سال ۲۰۰۵ ^[۱۲] بتون با مقاومت 40 مگاپاسکال و آب به سیمان $35/0$ ، عملکرد خیلی خوبی در سایش تشخیص داشته است.

از نظر خواص مقاومتی نیز لازم است روسازی بتن غلتکی، مشخصه های کافی داشته باشد. به عنوان نمونه، آین نامه^[۱۱] ACI-۳۲۵ مقاومت فشاری دست کم 28 مگاپاسکال را برای ساخت روسازی بتن غلتکی لازم دانسته است. همچنین در آین نامه مذکور، یک مدل گسیختگی (مقاومت خمی) $5-4$ مگاپاسکال توصیه شده است. لیکن، تهیه نمونه های منشوری برای آزمایش مدل گسیختگی به ویژه برای بتن غلتکی کمی دشوار است و لازم است روابطی برای تعیین مقدار مدل گسیختگی به صورت تابعی از مقاومت فشاری ارائه شود.^[۱۲]

مشخصات مصالح موجود در ایران متفاوت از مناطقی همچون امریکای شمالی است و نمی توان انتظار داشت نسبت های اختلاط مشابه، خواص و کارآیی یکسانی را به ارجاع آورند. مثلاً مقدار سیمان در اغلب مطالعات انجام شده در امریکای شمالی در محدوده $300-250$ کیلوگرم بر مترمکعب و عمدتاً $35/0$ کیلوگرم بر مترمکعب قرار دارد. این مقدار سیمان در نسبت های آب به سیمان $35/0$ و کمتر توائسه است است حجم خمیر کافی را برای پر کردن منفذ سنگ دانه ها و دست یابی به کارآیی بتن تأمین کند. لیکن به دلیل مقدار کم فیلر (عبوری از الک 75 میکرومتر) ماسه های تولیدی در ایران امکان دستیابی به منحنی های دانه بندی شبیه موارد ارائه شده در بولتن RD135^[۱۳] ممکن نیست که این مسئله قطعاً سبب تغییر در مقدار سیمان و افزودنی های پودری مخلوط برای جبران خمیر کمتر خواهد شد. بر این اساس، مطالعه حاضر به بررسی تأثیر عواملی همچون مقدار و نوع سیمان و نسبت آب به سیمان در خواص مکانیکی و دوام مخلوط های بتن غلتکی در کارآیی اولیه یکسان پرداخته است. پارامترهای مورد بررسی شامل مقاومت در برابر پوسته شدنگی سطحی در حضور نمک های پیچ زدا، مقدار نفوذ پذیری، سایش سطحی، مقاومت فشاری و مدل گسیختگی هستند.

۲. مصالح و روش ها

۱. مصالح

برخی مراجع، دانه بندی ایده آل را دانه بندی منطبق بر منحنی فولر تامپسون (با توان $D/D_{max}^{0.75} \times 100 =$ درصد عبوری) دانسته اند.^[۱۴,۱۵] لیکن منحنی مذکور مطابق شکل ۱، نمی تواند بر محدوده های پیشنهادی منطبق شود. به همین لحاظ در مطالعه حاضر با توجه به کم فیلر بودن ماسه های ایران از منحنی دانه بندی اصلاح شده فولرتامپسون با حذف زیر الک 200 و توان $45/0$ استفاده

جدول ۱. مشخصات فیزیکی و شیمیابی سیمان تیپ II و پوزولانی مورد استفاده در مخلوط‌های بتن.

	LOI	$\text{Na}_2\text{O} + 65\text{K}_2\text{O}$	سطح ویژه بلین (cm^2/g)	SO_4^{2-}	Fe_2O_3	MgO	Al_2O_3	CaO	SiO_2
سیمان تیپ II	۲۸۱۴	۱/۱۷	۰,۷۴	۱/۸	۴,۰۸	۳,۱۸	۴,۴۸	۶۱,۷	۲۲,۵
سیمان پوزولانی	۳۰۰۰	۳/۶۸	-	۲/۱۴	۳,۷۲	۳,۲۷	۵,۸۴	۵۳,۶	۲۶,۵

جدول ۲. طرح مخلوط‌های بتن اصلی استفاده شده در مطالعه‌ی حاضر.

مخلوط	سیمان	دوده‌ی سیلیسی	ماسه	شن نخودی	شن بادامی	آب	فوق روان‌ساز	(kg/m³)
Rccp - ۳۵° - ۰,۳۳	۳۵°	۰	۱۱۵۷	۴۱۶	۴۱۴	۱۱۵,۸	۳,۵	
Rccp - ۳۵° - ۰,۳۵	۳۵°	۰	۱۱۴۴	۴۱۱	۴۱۰	۱۲۲,۵	۲,۲۷	
Rccp - ۳۵° - ۰,۳۸	۳۵°	۰	۱۱۳۰	۴۰۶	۴۰۵	۱۲۳,۰	۰	
Rccp - ۳۲۵ - ۰,۴۰	۳۲۵	۰	۱۱۴۴	۴۱۱	۴۱۰	۱۳۰,۰	۰	
Rccp - ۳۷۵ - ۰,۳۶	۳۷۵	۰	۱۱۱۴	۴۰۱	۳۹۹	۱۳۵,۰	۰	
Rc - poz - ۳۵° - ۰,۳۵	۳۵°	۰	۱۱۴۴	۴۱۱	۴۱۰	۱۲۲,۵	۳,۰	
Rc - SF%7 - ۳۵° - ۰,۳۷	۳۲۵,۵	۲۴,۵	۱۱۲۳	۴۰۷	۴۰۶	۱۲۹,۵	۳,۰	

۴,۹ کیلوپاسکال روی میز ویبی اصلاح شده^[۲۰] استفاده شده است. متأسفانه به دلیل سنگینی سرباره‌ی تهیه شده برای تراکم با میز ویبی اصلاح شده کار با آن بسیار مشکل است، لذا از آن استفاده نشده است. دیگر روش مرسوم تراکم مخلوط‌های منشوری، استفاده از چکش است. به این منظور از چکش‌های متشابه نمونه‌های معروفی شده در استاندارد ASTM C ۱۴۳۵ استفاده شده است.^[۲۱] در مطالعه‌ی حاضر، به صورت مشابه یک صفحه‌ی منشوری به‌وسیله‌ی یک شفت (با مجموع وزن ۴,۸ کیلوگرم) به چکش متصل شده است. بتن در ۳ لایه، درون قالب منشوری با ابعاد افقی ۱۰ سانتی‌متر در ۴۰ سانتی‌متر و ارتفاع ۷,۵ سانتی‌متر متراکم شده است. در لایه‌ی آخر، یک هایبربرای جلوگیری از سرریز نمونه‌ها بر روی قالب‌ها قرار داده شده است. تصویر کوبه‌ی قالب منشوری و قالب به همراه هایپر نمونه‌های منشوری در شکل ۳ ارائه شده است.



شکل ۳. قالب و کوبه‌ی نمونه‌های منشوری.

۲.۲. طرح اختلاط، نحوه ساخت و قالب‌گیری نمونه‌ها

در مخلوط‌ها، تأثیر تغییرات نسبت آب به مواد سیمانی با درنظر گرفتن ۳ نسبت $۰,۳۳ / ۰,۳۵$ و $۰,۳۸ / ۰,۳۵$ و تغییرات مقدار سیمان با لحاظ کردن ۳ مقدار ۳۲۵، ۳۵۰ و ۳۷۵ کیلوگرم بر مترمکعب و مقایسه‌ی سیمان‌های حاوی مواد پوزولانی (دوده‌ی سیلیس و پوزولان طبیعی) در پارامترهای دوام و خواص مکانیکی بررسی شده است. پس از ساخت، زمان ویبی مخلوط‌های بتن غلتکی تحت روش استاندارد ASTM C ۱۱۷۰^[۱۵] تعیین و بدگونه‌ی تنظیم شده است که بلاfaciale پس از ساخت، حدوداً ۲۰-۱۰ ثانیه بوده و پس از حدود ۳۰ تا ۴۰ دقیقه از زمان ساخت به حدود ۵۰-۳۰ ثانیه افزایش یافته است. این زمان ویبی به این دلیل انتخاب شده است که معمولاً مدت زمانی بین زمان ساخت و اجرای بتن غلتکی لازم است. لازم به ذکر است که زمان ویبی مناسب روسازی‌های بتن غلتکی در برخی مراجع ۴۰-۳۰ ثانیه^[۱۶] و در برخی دیگر ۵۰-۵۰ ثانیه^[۱۷] پیشنهاد شده است. همچنین در ساخت برخی مخلوط‌ها که بدون فوق روان‌ساز، زمان ویبی اولیه بالایی داشته‌اند، از فوق روان‌ساز استفاده شده است. لازم به ذکر است که هر مخلوط اصلی به منظور تهیه‌ی نمونه‌های استوانه‌ی و منشوری، ۲ بار ساخته شده است. در جدول ۲، طرح مخلوط‌ها ارائه شده است. پس از قالب‌گیری نمونه‌ها به مدت ۲۴ ساعت تحت پوشش پارچه‌ی مرطوب عمل آوری و سپس در مخزن‌های آب اشباع از آهک در دمای ۲۳ ± 1 درجه‌ی سانتی‌گراد تا زمان انجام آزمایش‌ها نگهداری شده‌اند.

۳.۲. روش تهیه‌ی نمونه‌های استوانه‌ی و منشوری

در مطالعه‌ی حاضر، نمونه‌های استوانه‌ی با قطر ۱۵ و ارتفاع ۳۰ سانتی‌متر طبق روش استاندارد ASTM C ۱۱۷۶^[۱۸] با استفاده از میز ویبی اصلاح شده در ۴ لایه متراکم شده‌اند. برای تراکم نمونه‌های منشوری، روش استانداردی تدوین نشده است. در برخی مطالعات برای تراکم نمونه‌های مذکور از میز ویبی استفاده شده است. مثلاً برای تراکم نمونه‌ها از سرباره با تنش ۷/۳۲ کیلوپاسکال^[۱۹] و از تنش

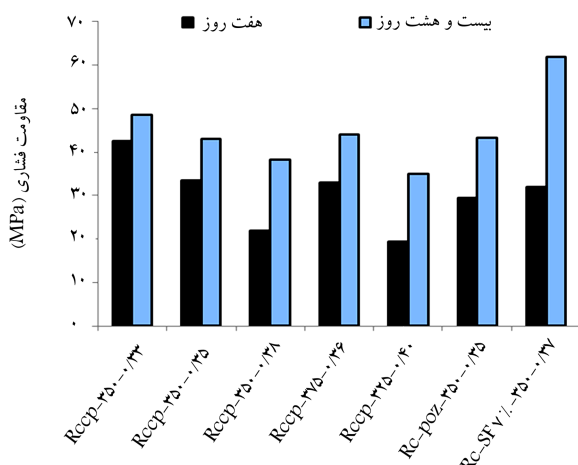
۳. نتایج مطالعات آزمایشگاهی

۱.۳. مقاومت فشاری

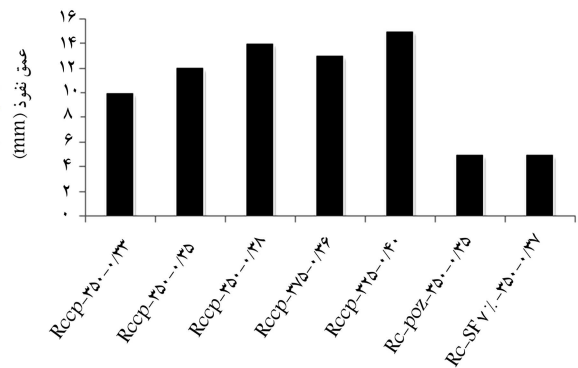
در شکل ۵ مقاومت فشاری مخلوط‌های اصلی در سین ۷ و ۲۸ روزه ارائه شده است. همان‌طور که مشخص است، مخلوط‌ها در سن ۷ روزه، مقاومت‌های فشاری مناسبی داشته‌اند و حتی مقاومت تا ۴۲ مگاپاسکال برای مخلوط با سیمان ۳۵۰ کیلوگرم بر مترمکعب و آب به سیمان ۰/۳۳ مشاهده می‌شود. هر چند در سن ۷ روزه، مخلوط‌های ۳۸ و ۴۰ RCCP ۳۲۵-۰، ۴۰ RCCP ۳۵۰-۰ به مقاومت فشاری ۲۷/۶ مگاپاسکال پیشنهادی در آیین‌نامه‌ی ACI ۳۲۵.۱R-۹۵^[۱۷] نرسیده‌اند؛ اما در سن ۲۸ روزه، برای تمام مخلوط‌ها مقاومت فشاری بیش از ۳۵ مگاپاسکال به دست آمده است. بیشترین مقاومت در سن ۲۸ روزه، مربوط به مخلوط حاوی ۷٪ دوده‌ی سیلیسی به میران ۶۱ مگاپاسکال است. همچنین نتایج نشان دهنده‌ی مقاومت مناسب مخلوط پوزولانی در سن ۷ روزه (۳۰ مگاپاسکال) و سن ۲۸ روزه (۴۲ مگاپاسکال) هستند.

۲.۳. نفوذ تحت فشار آب مخلوط‌های بتن غلتکی

میران بیشترین نفوذ آب تحت فشار مطابق با استاندارد EN ۱۲۳۹۰-۸ در شکل ۶ ارائه شده است. نتایج نشان می‌دهند که با کم شدن نسبت آب به سیمان



شکل ۵. مقاومت فشاری مخلوط‌های بتنی در سین ۷ و ۲۸ روزه.



شکل ۶. نفوذ تحت فشار آب مخلوط‌های بتنی در ۲۸ روزه.

۴. آزمایش تعیین مقاومت در برابر یخبندان (ذوب و انجماد)،

۴.۱. مطابق پیش‌نویس جایگزین استاندارد ASTM C672

پدیده‌ی یخبندان و آب شدن به صورت‌های مختلف می‌تواند دوام روسازی بتن غلتکی را تحت تأثیر قرار دهد. یکی از انواع آسیب‌ها، پوسته‌شدگی سطحی بتن در اثر پاشش نمک‌های یخ‌زداست.^[۲۲,۲۳,۲۷,۹,۲] روش آزمایش استفاده شده در مطالعه‌ی حاضر برای بررسی پوسته‌شدگی سطحی برگرفته از روش تعیین شده در پژوهشی در سال ۱۹۱۱^[۲۰] به عنوان پیش‌نویس جایگزین ASTM C672^[۲۱] است.

۴.۲. آزمایش تعیین نفوذپذیری تحت فشار آب

نفوذپذیری تحت فشار آب مطابق با استاندارد EN ۱۲۳۹۰-۸ در سن ۲۸ روزه^[۲۵] در انجام شده است.

۶. آزمایش تعیین مقاومت در برابر سایش

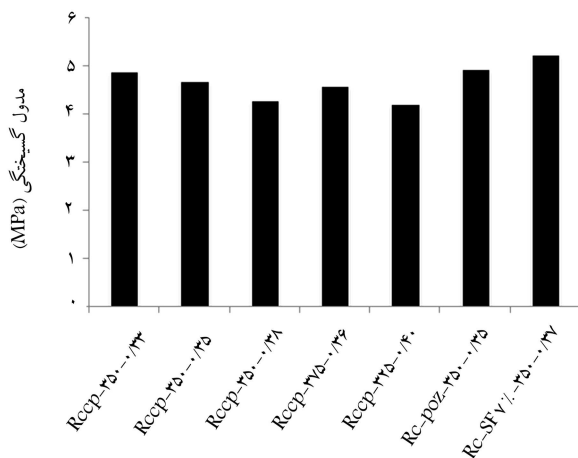
مقاومت در برابر سایش مطابق روش مشخص شده در استاندارد BS EN ۱۲۳۸^[۲۶] روی نمونه‌های ۲۸ روزه‌ی بدست آمده از برش نمونه‌های منشوری انجام شده است. در شکل ۴، تصویر دستگاه سایش و سطح ساییده شده ارائه شده است.

۷. آزمایش تعیین مدول گسیختگی

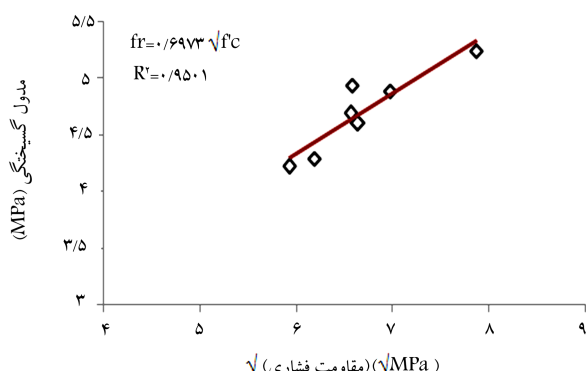
مدول گسیختگی (مقاومت خمشی) نمونه‌های منشوری در سن ۲۸ روزه مطابق با استاندارد ASTM C78 تعیین شده است. در مطالعه‌ی حاضر مدول گسیختگی، بیشینه‌ی تنشی کششی است که بتن تحت نیروهای خمشی قبل از گسیختگی تحمل می‌کند. برای این منظور از روش بار تک نقطه‌ی در وسط نمونه استفاده شده است. در آزمایش مذکور، فاصله‌ی تکیه‌گاه‌ها برابر ۲۴ سانتی‌متر تنظیم و بار در وسط فاصله‌ی ذکر شده وارد و بیشینه‌ی تنش معادل بار گسیختگی در وسط نمونه به عنوان مدول گسیختگی تعیین شده است.



شکل ۴. سطح ساییده شده نمونه.



شکل ۸. مدول گسیختگی مخلوط‌های بتنی در ۲۸ روز.



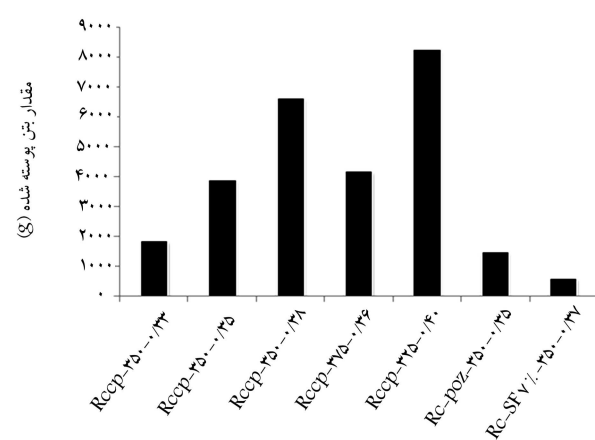
شکل ۹. نسبت مدول گسیختگی به جذر مقاومت فشاری مخلوط‌های بتنی در سن ۲۸ روزه.

آب به سیمان، مدول گسیختگی ارتقاء پیدا کرده و مخلوط‌های حاوی دوده‌ی سیلیسی و سیمان پوزولانی عملکرد مناسب‌تری نسبت به سایر مخلوط‌ها داشته‌اند. کم شدن مقدار سیمان از ۳۵۰ به ۳۲۵ کیلوگرم بر مترمکعب، سبب کاهش مدول گسیختگی شده و افزایش مقدار سیمان به ۳۷۵ کیلوگرم بر مترمکعب تأثیری در مقدار مدول گسیختگی نداشته است.

در شکل ۹، نسبت مدول گسیختگی به جذر مقاومت فشاری با ضریب همبستگی مناسب ۹۵٪ برابر ۰/۷ حاصل شده است. در آین نامه‌ی ACI۳۲۵-۱۰R، مقدار مدول گسیختگی در محدوده $c/\sqrt{f_c} = ۰/۹۲$ در آین نامه‌ی [۱۷]، $c/\sqrt{f_c} = ۰/۷۵$ در استاندارد ASTM C۶۷۲ [۱۱]، $c/\sqrt{f_c} = ۰/۶۳$ در استاندارد IMPC-۰۶ [۲۹] در محدوده‌ی ACI۳۱۸-۱۱ [۲۸]، $c/\sqrt{f_c} = ۰/۸۲$ در رله‌ی ۰/۶۲ ذکر شده است. با توجه به نتایج موجود پیشنهاد می‌شود برای درنظر گرفتن عدم قطعیت‌ها برای محاسبات طراحی از رابطه $fr = ۰/۶۳\sqrt{f_c}$ استفاده شود.

۵.۳. مقاومت سایشی مخلوط‌های بتن غلتکی

عرض ساییده شده‌ی نمونه‌ها در شکل ۱۰ ارائه شده است. همان‌طور که مشهود است، تفاوت چندانی بین میزان سایش نمونه‌های بتنی وجود نداشته و سایش نمونه‌ها بین ۰/۷ تا ۱۹/۴ نتایج ۲۱/۴ متغیر بوده است. کاهش نسبت آب به سیمان از ۳۸٪ به ۳۳٪ سبب کاهش اندکی (۱۷ میلی‌متری) عرض سایش شده است. همچنین نمونه‌های



شکل ۷. وزن ذرات جدا شده از سطح نمونه‌های بتن در اثر نمک‌های یخ‌زدا.

نفوذپذیری نمونه‌ها کاهش پیدا کرده است. میزان نفوذ برای مخلوط‌های حاوی کیلوگرم بر مترمکعب سیمان از ۱۴ میلی‌متر به ۱۲ میلی‌متر با کاهش نسبت آب به سیمان از ۳۸٪ به ۳۵٪، ۳۳٪ کاهش یافته است. با تعیین مقدار سیمان از ۳۵۰ کیلوگرم بر مترمکعب به ۳۲۵ کیلوگرم بر مترمکعب مقدار نفوذ آب به میزان ۳ میلی‌متر افزایش یافته است. مخلوط حاوی ۳۷۵ کیلوگرم بر مترمکعب سیمان تفاوت چندانی نسبت به مخلوط حاوی ۳۵۰ کیلوگرم بر مترمکعب سیمان نداشته است. کمترین مقدار نفوذ آب مربوط به مخلوط‌های حاوی دوده‌ی سیلیسی و سیمان پوزولانی به میزان ۵ میلی‌متر بیانگر نفوذپذیری اندک این مخلوط‌هاست. نفوذپذیری کمتر مخلوط‌های پوزولانی و دوده‌ی سیلیسی سبب می‌شود که در صورت قرار گرفتن بتن در شرایط خشک و خارج شدن بتن از حالت اشباع، بتن‌های مذکور دیرتر دچار اشباع‌شدگی شوند و در شرایط واقعی مقاومت بالاتری در برابر یخ‌بیندان نشان دهند.

۳.۳. پوسته‌شدگی سطحی بتن در اثر نمک‌های یخ‌زدا

مقدار ذرات جدا شده از سطح نمونه‌های بتنی در اثر نمک‌های یخ‌زدا در شکل ۷ ارائه شده است. براساس معیارهای ارائه شده در پیش‌نویس جایگزین پیشنهادی استاندارد ASTM C۶۷۲ [۱۱] فقط مخلوط حاوی دوده‌ی سیلیسی با مقدار پوسته‌شدگی سطحی ۶۰۰۰ گرم بر مترمربع در رده‌ی ۳، که معادل پوسته‌شدگی متوسط با کمی سنگ‌دانه‌ی درشت، در معرض دید (۵۰۰-۵۵۰ گرم بر مترمربع) قرار گرفته است. مخلوط حاوی سیمان پوزولانی و مخلوط حاوی ۳۵۰ کیلوگرم بر مترمکعب سیمان و آب به سیمان ۰/۳۳ در رده‌ی ۴ (۱۳۰۰ گرم بر مترمربع) که معادل پوسته‌شدگی متوسط و تا حدودی شدید، که سنگ‌دانه‌ی درشت در بخش‌هایی بهوضوح در سطح مشخص است، قرار گرفته‌اند. سایر مخلوط‌ها، پوسته‌شدگی شدید داشته‌اند و در رده‌ی ۵ پژوهش مذکور، [۱۱] قرار گرفته‌اند. پوسته‌شدگی شدید بتن‌های معمولی با مصالح ایران در مطالعه‌یی در سال ۲۰۱۱ [۲۷] نیز گزارش شده است.

۴.۳. مدول گسیختگی مخلوط‌های بتن غلتکی

مدول گسیختگی مخلوط‌های بتنی در شکل ۸ ارائه شده است. مدول گسیختگی طرح‌ها بین ۴/۲۲ تا ۵/۲۵ مگاپاسکال متغیر است. شایان ذکر است که مدول گسیختگی روسازه‌های بتن غلتکی ساخته شده عمدتاً بین ۳/۵ تا ۵ مگاپاسکال گزارش شده است. همان‌طور که در شکل مذکور مشخص است، با کم شدن نسبت

مطلوب دارند. این مقاومت برای اغلب مخلوط‌ها عمدتاً بالای ۴۰ مگاپاسکال و بیشتر از مقدار ۲۸ مگاپاسکال پیشنهادی در آین نامه‌ی ۱۰-۲۵R ACI است. مخلوط پوزولانی، مقاومت‌های فشاری ۲۸ روزه‌ی مناسب و مخلوط حاوی دوده‌ی سیلیسی نسبت به سایر مخلوط‌ها، مقاومت فشاری بالاتری (۶۱ مگاپاسکال) داشته‌اند.

با توجه به ضعف‌های روش استاندارد C672 ASTM و عملکرد سخت‌گیرانه‌ی آن در تعیین مقاومت در برابر پوسته‌شدگی سطحی بتن در مجاورت نمک‌های بخ‌زاد، در مطالعه‌ی حاضر از روش پیش‌نویس پیشنهادی برای جایگزین استاندارد استفاده شده است. لیکن نتایج این روش نیز نشان‌دهنده‌ی عملکرد ضعیف اغلب مخلوط‌های بتن غلتکی در برابر پدیده‌ی یخبندان در مجاورت نمک‌های بخ‌زاده است. به نظر می‌رسد انجام مطالعات میدانی بیشتر و مقایسه با نتایج آزمایشگاهی، برای بررسی نتایج پیش‌نویس مذکور لازم باشد.

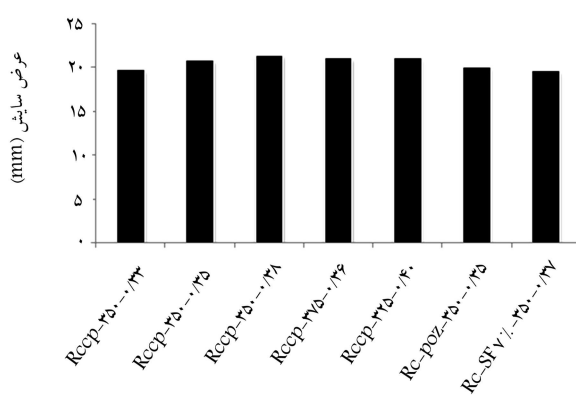
مخلوط حاوی دوده‌ی سیلیسی بهترین عملکرد را در برابر پدیده‌ی پوسته‌شدگی سطحی بر اثر نمک‌های بخ‌زاده داشته است و براساس رده‌بندی پیش‌نویس پیشنهادی در سال ۱۲، ۲۰ [۱] در گروه پوسته‌شدگی متوسط قرار گرفته است. مخلوط حاوی سیمان پوزولانی و مخلوط حاوی آب به سیمان ۳۳٪ در رده‌ی مخلوط‌های با پوسته‌شدگی قابل توجه و سایر مخلوط‌ها در رده‌ی پوسته‌شدگی بسیار شدید قرار گرفته‌اند. مدول گسیختگی مخلوط‌های بتن غلتکی در محدوده‌ی ۴/۲ تا ۵/۲ مگاپاسکال بوده است. کم شدن نسبت آب به سیمان، سبب افزایش مدول گسیختگی شده است. مخلوط حاوی دوده‌ی سیلیسی بیشترین مدول گسیختگی را نسبت به دیگر مخلوط‌ها داشته است. نسبت مجذور مدول گسیختگی به مقاومت فشاری مخلوط‌ها حدود ۷٪ محاسبه شده است. مقدار نفوذ تحت فشار آب مخلوط‌های حاوی دوده‌ی سیلیسی و سیمان پوزولانی نسبت به سایر مخلوط‌ها کمتر بوده است. همچنین کم شدن نسبت آب به سیمان سبب کم شدن نفوذ‌پذیری شده است. کم شدن نفوذ‌پذیری می‌تواند سبب دیرتر اشباع‌شدن مخلوط‌های بتن و بالطبع مقاومت بالاتر در برابر یخبندان شود.

قدرتانی

این پژوهه بخشی از پژوهش‌های انجام شده در راستای پژوهه «تدوین دستورالعمل ساخت و اجرای روسازی بتن غلتکی» بوده است و نویسندهان لازم می‌دانند از حمایت‌های مرکز تحقیقات راه، مسکن و شهرسازی تشکر کنند.

منابع (References)

- Dellatte, N.J., *Concrete Pavement Design, Construction, and Performance*, CRC Press, 2nd ed. (2014).
- Gauthier, P. and Merchant, J. "Design and construction of roller compacted concrete pavements in Quebec", Centre de Recherche Sur Les Infrastructures en Beton (CRIB) Department de Genie Civil, Universite Laval (2005).
- Valenza, J.J. and Scherer, G.W.A. "Review of salt scaling: I. Phenomenology", *Cement and Concrete Research*, 37(7), pp. 1007-1021 (2007). (2007).



شکل ۱۰. میزان سایش نمونه‌های بتنی در سن ۲۸ روزه.

حاوی دوده‌ی سیلیسی و سیمان پوزولانی نسبت به مخلوط‌های مشابه اندکی سایش کمتر داشته‌اند، که نشانگر تأثیر کم این مواد در کاهش سایش تحت آزمون حاضر است. اغلب مخلوط‌ها (به جز مخلوط حاوی دوده‌ی سیلیسی، مخلوط پوزولانی و مخلوط با آب به سیمان ۳۳٪) در رده‌ی ۲ (سایش متوسط کف پوش بتنی) طبق استاندارد BS EN ۱۳۳۸ قرار می‌گیرند که در رده‌ی مذکور، مقدار سایش باید بین ۲۰ تا ۲۳ میلی‌متر قرار گیرد. مخلوط حاوی دوده‌ی سیلیسی و مخلوط با آب به سیمان ۳۳٪ با سایش کمی کمتر از ۲۰ میلی‌متر در رده‌ی مطلوب از نظر سایش (عرض سایش کمتر از ۲۰ میلی‌متر) طبق استاندارد ۱۳۳۸ قرار دارد. در آین نامه‌ی ۱۰-۲۱ ACI، کمینه‌ی مقاومت ۴۰ مگاپاسکال برای مقاومت متابع در برابر سایش پیشنهاد شده است. گزارش‌ها نیز حاکی از مقاومت خوب در برابر سایش مخلوط‌های حاوی آب به سیمان ۳۵٪ و مقاومت فشاری ۴۰ مگاپاسکال هستند. [۲]

۴. نتیجه‌گیری

مطالعه‌ی حاضر به بررسی مشخصات عملکردی و دوام مخلوط‌های بتن غلتکی مورداستفاده در روسازی پرداخته است. نتایج بیانگر آن است که مخلوط‌های بتن غلتکی که در محدوده‌ی زمان و بی‌مناسب تولید شده باشند، مقاومت فشاری

- Mindess, S., Young, J.F. and Darwin, D., *Concrete*, Prentice Hall, 2nd ed. (2003).
- ASTM C672/C672M-03., *Standard Test Method for Scaling Resistance of Concrete Surfaces Exposed to Deicing Chemicals*, Annual Book of ASTM standards, 04.02 (2004).
- PCA Research and Development Bulletin RD135., *Frost Durability of Roller-Compacted Concrete Pavements*, Portland cement association (2004).
- ASTM C666/C666M-03., *Standard Test Method for Resistance of Concrete to Rapid Freezing and Thawing*, Annual Book of ASTM Standards, 04.02 (2003).

8. Delagrange, A., Merchand, J., Pigeon, M. and Boisvert, J. "Deicer salt scaling resistance of roller-compacted concrete pavements", *ACI Materials Journal*, **94**(2), pp. 163-169 (1997).
9. Harrington, D., Abdo, F., Adaska, W. and Hazaree, C., *Guide for Roller Compacted Concrete Pavements*, National Concrete Paving Technology center (1997).
10. ASTM C1262., *Standard Test Method for Evaluating the Freeze-Thaw Durability of Dry-Cast Segmental Retaining Wall Units and Related Concrete Units*, Book of ASTM Standards, **04.05** (1998).
11. Hooton, R.G. and Vassilev, D., *Deicer Scaling Resistance of Concrete Mixtures Containing Slag Cement, Part 2: Evaluation of Different Laboratory Scaling Test Methods*, National Concrete Pavement Technology Center (2012).
12. ACI 201.2R-08., *Guide to Durable Concrete*, (2008).
13. ERMCO., *ERMCO Guide to Roller Compacted Concrete for Pavements*, ERMCO Guide to Roller-Compacted Concrete (2013).
14. Marchand, J., Gange, R., Ouellete, E. and Lapage, S. "Mixture proportioning of roller compacted concrete: A review", *ACI Special Publication*, **SP171**, pp. 457-486 (1997).
15. ASTM C1170-06., *Standard Test Method for Determining Consistency and Density of Roller-Compacted Concrete Using a Vibrating Table*, Annual Book of ASTM Standards, **04.02** (2006).
16. Cannon, R.W. "Proportioning workable concrete mixtures with specific gravity of cement-water paste", *ACI Materials Journal*, **102**(5) (2005).
17. ACI 325.10R-95., *Report on Roller-Compacted Concrete Pavements*, American Concrete Institute, (2001).
18. ASTM C1176-05., *Standard Practice for Making Roller-Compacted Concrete in Cylinder Molds Using a Vibrating Table*, Annual Book of ASTM standards, **04.02** (2006).
19. Pittman, D.W. and Ragan, S.A. "Drying shrinkage of roller-compacted concrete for pavement applications", *ACI Materials Journal*, **95**(1), pp. 19-26 (1998).
20. Vahedifard, F., Nili, M. and Meehan, C.L. "Assessing the effects of supplementary cementitious materials on the performance of low-cement roller compacted concrete pavement", *Construction and Building Materials*, **24**, pp. 2528-2535 (2010).
21. ASTM C1435., *Standard Practice for Molding Roller-Compacted Concrete in Cylinder Molds using a Vibrating Hammer*, Annual Book of ASTM Standards, **04.02** (1999).
22. Gange, R. "Proportioning for non-air-entrained RCCP", *Concrete International*, **21**(5), pp. 37-41 (May 1999).
23. Valenza, J.J. and Scherer, G.W. "A review of salt scaling: II. Mechanisms", *Cement and Concrete Research*, **37**(7), pp. 1022-1034 (2007).
24. Liu, Z., Hansen, W., Freeze-thaw durability of high strength concrete under deicer salt exposure, *Construction and Building Materials* **102**, pp: 478-485, (2016).
25. BS EN 12390-8., *Testing Hardened Concrete-Part 8: Depth of Penetration of Water under Pressure*, British Standards (2006).
26. BS EN 1338:2003., *Concrete Pavement Blocks, Requirements and Test Methods*, British Standards (2003).
27. Nili, M. and Zaheri, M. "Deicer salt-scaling resistance of non-air-entrained roller-compacted concrete pavements", *Construction and Building Materials*, **25**(4), pp. 1671-1676 (2011).
28. ACI 318-11., *Building Code Requirements for Structural Concrete (ACI 318-11) and Commentary (ACI 318R-11)*, ACI Committee 318 Structural Building Code (2011).
29. Taylor, P.C., Kosmatka, S.H. and Voigt, G.F. "Integrated materials and construction practices for concrete pavement: A State-of-the-practice manual", National Concrete Pavement Technology Center/Center for Transportation Research and Education, Iowa State University (2006).